

川崎製鉄技術研究所 桜谷敬和 理博 江見俊彦

**1. 緒言:** 硫化物の形態調整を目的として高張力鋼(C 0.06~0.20, Si 0.20~0.30, Mn 1.3~1.5, P<0.02, S 0.003~0.008, Al ≥ 0.020%)に稀土類元素(REM)を加える際, 鋳型内溶鋼中の濃度積,  $CP = [\%REM][\%S]$ , が  $1.0 \sim 1.5 \times 10^{-4}$  より大きくと, 鋼塊沈澱晶帯に REM-S を主体とする縞状集積(写真-1)が生じ, 逆V偏析線はSプリントで周囲よりも薄く見えるが, CPが  $1.0 \times 10^{-4}$  以下では逆転し, 縞状集積が消えると同時に, 逆V偏析線もSの正偏析と示すことと前報<sup>(1)</sup>で報告した。Sプリントのパターンが後者から前者に反転することと" S-REVERSAL"と呼ぶ<sup>(2)</sup>。硫化物の形態調節を完全に行い, 低温靱性を劣化させず, が鋼塊全部位を均質に保つためには, 鋳型内溶鋼中のREMとSと,  $[\%REM]$  vs.  $[\%S]$  座標上で,  $8 > [\%REM]/[\%S] \geq 3$  と,  $CP \leq 1 \sim 1.5 \times 10^{-4}$  で区切られる領域に保つ必要があり, これを" THE RARE EARTH ZONE"と呼ぶ<sup>(3)</sup>。本報では, S-REVERSALの起る限界CP値が, 最近報告された同種溶鋼中のCeSの溶解度積,  $K = [\%Ce]_{eq} \cdot [\%S]_{eq} \cong 0.7 \times 10^{-4}$  と非常に近いことに着目して, 次澱晶帯の縞状集積機構を, 鋳型壁に平行な凝固前面における過飽和によるREM-Sの周期的晶出, および晶出したREM-Sの熱対流による沈澱晶帯上面への運搬機構, と組合わせたモデルにより統一的に説明し, REM-S晶出に要する過飽和度も求めた。

**2. モデル:** 鋼塊の沈澱晶帯直上近傍で, 鋳型壁に垂直な方向に, 凝固開始直からの距離をx, 凝固速度をVとすれば, 平界面で近似した凝固前面のxにおける過飽和度,  $\alpha = CP/K$ , は initial transient の溶質濃化式を用いて,  $v\alpha/D$  の函数として表わされる。

$$\alpha = \alpha_0 \pm \alpha_1 \pm \alpha_2 \dots, \quad \alpha = \alpha \left( \frac{v\alpha}{D} \right) = \frac{1}{2k} \left\{ 1 + \operatorname{erf} \frac{1}{2} \sqrt{\frac{v\alpha}{D}} + (2k-1) \exp(-k\gamma \frac{v\alpha}{D}) \operatorname{erfc} \left[ \frac{(2k-1)}{2} \sqrt{\frac{v\alpha}{D}} \right] \right\} \dots (1)$$

$\alpha_0$ : 初期過飽和度,  $k$ : 平衡分配係数,  $\gamma$ :  $1-k$ ,  $D$ : REMまたはSの溶鋼中の拡散定数  
凝固開始後, 時刻  $t_1$  で  $x_1$  において  $\alpha$  が限界過飽和度,  $\alpha_{crit}$  をこえたと, REM-Sが晶出し, 凝固前面を流す流速  $\alpha$  の熱対流による溶鋼下降流に乗って沈澱晶帯上面に達し, 絶え間なく溶鋼中を沈降してくる等軸晶により浮上を妨げられて, 才1番目の集積層の下縁を作る。以後順次これが繰返され,  $t_n$  に  $x_n$  で晶出したREM-Sは, 才n番目の集積層を作る。(図1)

$t_n$  と  $t_{n-1}$  の間のVの平均値を

$$\bar{v}_n = \int_{t_{n-1}}^{t_n} v dt / (t_n - t_{n-1}) \dots (2)$$

とすると, 一定組成の鋼の固-液界面近傍の溶鋼に於いては,  $\alpha_{crit}$  は定値をとるので,  $v \cong \bar{v}_n$ ,  $x_n = \bar{v}_n \Delta t_n$  を用いて,  $\bar{v}_n x_n = \bar{v}_n^2 \Delta t_n = \text{const.} = A \dots (3)$  となり,  $A$ ,  $\bar{v}_n$  と実験で求めると  $t_n$  と決められる。

次に,  $x_n$  で晶出がおこる時, 沈澱晶帯直上から湯面までを  $m$  等分したj番目の高さ  $H_{nj}$  で, 単位界面長さあたり  $\beta$  個晶出したREM-Sに於いては,  $H_{nj}$  から沈澱晶帯上面への到達に要する時間,

$$t_{nj} = \frac{H_{nj}}{Q_{nj}}, \quad \bar{a}_{nj} = \int_{t_n}^{t_n+t_{nj}} a dt / t_{nj}, \quad \text{から } \beta \frac{dH_{nj}}{dt_{nj}} = \beta a (t_n + t_{nj}) \cong \beta a_{nj} \dots (4) \text{ の関係が得られる。}$$

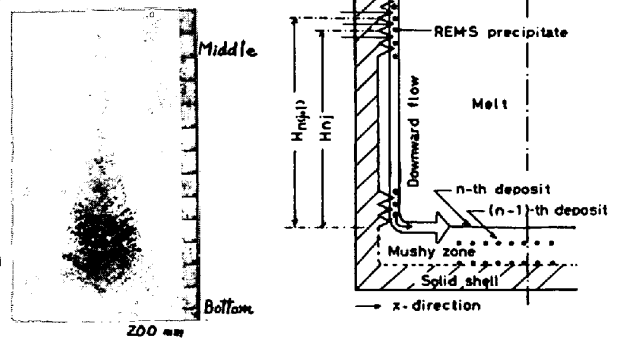


写真1. 縞状集積(A鋼塊) 図1. 集積モデル

(4)式は、単位時間あたり沈澱晶帯上面に到達するREM-S個数を表わし、 $\alpha$ は $t$ に $\propto$ して単調に減少するから、 $t_{nj} = 0$ のとき、即ち、 $t = t_n$ のときに、 $n$ 番目の集積が極大を示して始まることを意味している。 $n$ 番目の集積は固-液界面の最上端 $H_{nm}$ で晶出したREM-Sが到達する時間 $t_{nm}$ で決まる時刻 $t_n + t_{nm}$ で終了する。 $t_n \sim t_n + t_{nm}$ 間、次の晶出が $t_{n+1}, \dots$ で生じ得ることを考慮すると、測定される集積は、多数回に渡る晶出物の逐次的な堆積の和となる。 $N$ を適当な規格化定数として、

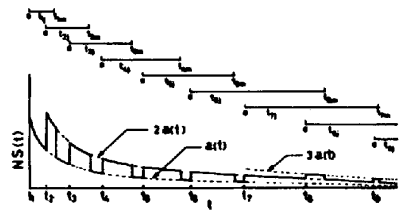


図2. 集積パターンの模式的表現

$$S(t) = \sum_{(nj)} \frac{1}{N} \alpha_{nj} ; \text{但し } t_n + t_{nj} = t \text{ なる } (nj) \text{ について Sum とする。}$$
 により、集積パターンを表わす函数、 $S(t)$ 、が定義される。模式的な表現(図-2)から、極大を示す時刻が晶出時刻 $t_n$ に対応することがわかる。

3. 結果: 前報で沈澱晶帯集積のあったA, B鋼塊の断面をマイクロプロット装置の針が通る、ミクロフォトメーターで走査し、縞状集積のピーク位置を鋼塊底部からの距離として決めた。これを注入条件の等しい、同一鋼種、同一銑型で実験的に求めた沈澱晶帯厚さの時間変化と照合して $t_n$ を決めた。

一方、 $v = 12.5\sqrt{t}$ なる実験値と、(2), (3)式から

$$t_n = \left\{ \frac{(25^2 + A)}{(25^2 - A)} \right\}^2 t_{n-1}$$

したがって、実験で得られた $t_n$ と $t_{n-1}$ の差 $\Delta t_n$ と $n$ の関係は、

$$\log \Delta t_n = \log (t_n - t_{n-1}) = 2(n-1) \log \frac{25^2 + A}{25^2 - A} + \log \left\{ \left( \frac{25^2 + A}{25^2 - A} \right)^2 - 1 \right\} + \log t_0 \quad \text{----- (5)}$$

$\log \Delta t_n$  vs.  $n$ のプロットの傾きから(5)式を用いて $A$ が求められる。

(図-3.4) この値 $A(=v^2x)$ と、以下に求める $D$ 、 $k_s$ を(1)式に代入すれば $\alpha_{crit.}$ が決まる。 $D_S \cong D_{REM} \cong 4.0 \times 10^{-5} \text{ cm}^2/\text{sec} = 2.4 \times 10^{-1} \text{ mm}^2/\text{min}^{(7)}$ とし、 $k_s$ は0.02とする。 $k_{REM}$ は未知であるが、Fe-Ce系状態図<sup>(5)</sup>から求まる $k_{Ce} = 0.16$ 、REMと同族で原子半径もほぼ等しいY-Fe系の状態図<sup>(6)</sup>で固体鉄中へのYの溶解度を1%として求まる $k_Y = 0.08$ を考慮して $k_{REM} = 0.10$ と仮定した。この様にして得た $\alpha_{crit.}$ を表-1に示す。

縞状集積のあったA, B鋼塊の $\alpha_{crit.}$ はよく一致し、約800である。

一方、前報で、C, D鋼塊に縞状集積がなかった事実は、 $\alpha_{crit.}$ の最大値が

$$\alpha_0^D \cong \alpha_S^D(\infty) \cong \alpha_{REM}^D(\infty) < \alpha_0^C \cong \alpha_S^C(\infty) \cong \alpha_{REM}^C(\infty) =$$

$$1.3 \times 50 \times 10 = 650 < \alpha_{crit.}^A \cong \alpha_{crit.}^B \cong 800$$

で、REM-S晶出限界過飽和度より小なため、と説明できる。

4. 文献: (1) 榎谷他; 鉄と鋼, 59 (1973) S449, S450 (2) A. Ejima et al; Proc. 5th Japan-USSR Joint Symp. phys. chem. of metall. Processes, Moscow, 1975; to be published (3) 鈴木他; 鉄と鋼 60 (1974) S51 (4) 垣生他; 鉄と鋼 60 (1974) S70 (5) R. Vogel; Z. Anorg. Allgem. chem. 99 (1917) 25 (6) R.F. Domagala et al; Trans. ASM. 53 (1961) 137. (7) D. Ya. Povolotskiy et al; Russian Metallurgy, No.5 (1972) 66.

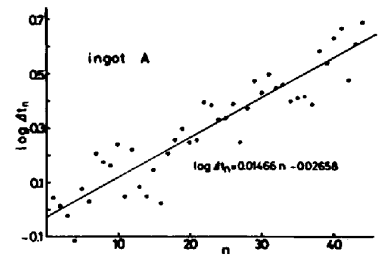


図3.  $\log \Delta t_n$  vs.  $n$  (A鋼塊)

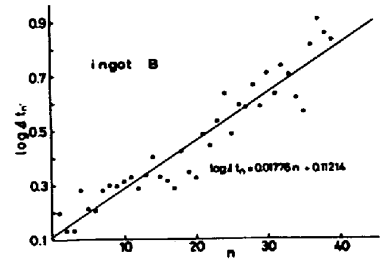


図4.  $\log \Delta t_n$  vs.  $n$  (B鋼塊)

表1. 晶出限界過飽和度の計算結果

ingot	%S	%REM	$\alpha_0$	A	$\bar{v}x/D$	$\alpha_S$	$\alpha_{REM}$	$\alpha_{crit.}$
A	0.012	0.041	4.92	5.268	21.95	18.8	8.9	823.2
B	0.007	0.056	3.92	6.341	26.42	21.4	9.4	788.5